# 高圧タンクを利用した液体二酸化炭素の投入実験

海上安全研究領域 危険物輸送・防災研究グループ \*中島 康晴、城田 英之

環境・エネルギー研究領域 波江 貞弘

海洋開発研究領域 深海技術研究グループ 久松 勝久、和田 保弘

大阪支所 ぎ装研究グループ 小島 隆志

### 1.はじめに

化石燃料から排出される二酸化炭素( $CO_2$ )を排ガス中から分離・回収し、水深 3500m 程度の深海底に貯留する深海貯留は、地球温暖化を抑制する革新的技術の一つとして注目され、研究されている。 $CO_2$  は水深 500m 相当の圧力で液化し、2700m では周囲の海水よりも高い密度を有するため、深海底では安定して貯留することができる。また、深海に貯留した  $CO_2$ 液滴の表面には、 $CO_2$ と水との反応により  $CO_2$  ハイドレートと呼ばれる膜状の物質が生成し、 $CO_2$  の海中への溶解を抑制する。さらに、 $CO_2$  層の上方には、 $CO_2$  を豊富に含む海水の密度成層が生じ、海洋中への  $CO_2$  の拡散が抑制される。こうした仕組みにより、貯留した  $CO_2$  は非常に長い期間にわたって大気環境から隔離されると期待されている。(1), (2)

当所では、過去 12 年間にわたり、高圧下における  $CO_2$  の溶解度、 $CO_2$  八イドレートの生成条件、液体  $CO_2$  投入法の基本概念等の深海貯留の基礎となる事項を研究してきた。 $^{(3)}$ さらに、米国のモンテレー湾海洋研究所(MBARI)との共同研究により、1998 年から数回にわたり米国カリフォルニア州モンテレー湾において少量の  $CO_2$  を用いた実海域実験を実施してきた。その結果、貯留した  $CO_2$  の溶出による周辺海水の pH の低下、及びそれによる海洋環境への影響を評価する必要性が認識されてきた。 $^{(3),(4)}$ 

そこで、CO<sub>2</sub> 深海貯留の環境影響評価を目的として、2002 年から当所、MBARI 及びベルゲン大学(ノルウェー)による国際共同研究(OACE)が開始された。OACE は実海域実験を中心とする研究プロジェクトであるが、実海域実験には予算や CO<sub>2</sub> の投入量などの制約が大きい。そこで、実海域の環境を模擬した大型高圧実験装置を用いて、実験条件を実海

域よりも幅広く調整した陸上模擬実験を実施することとなった。本報では、陸上模擬実験の第一歩として実施した液体 $\mathrm{CO}_2$ 投入実験における $\mathrm{CO}_2$ 液滴の挙動、 $\mathrm{CO}_2$  ハイドレート膜の生成、及び周辺水の  $\mathrm{pH}$  変化等について報告する。

### 2.実験装置及び方法

### 2.1 実験装置

実験には、当所の海洋環境保全総合実験棟内に設置されている高圧タンクを使用した。このタンクは、内径 1.1m、深さ 3.0m の円筒型高圧容器であり、最大耐圧は60MPa(高圧ガスを使用する場合は40MPa)である。この装置は主として深海貯留の陸上模擬実験を行うために設計・製作され、液体 CO2投入装置、加圧装置、温度調節装置、回流発生装置等が付属している。また、タンク内部には熱電対、pH センサ、モニターカメラ等が設置され、圧力、温度、pH、内部映像等のデータを収集、記録することが可能である。高圧タンクの概要を図 1 に示す。

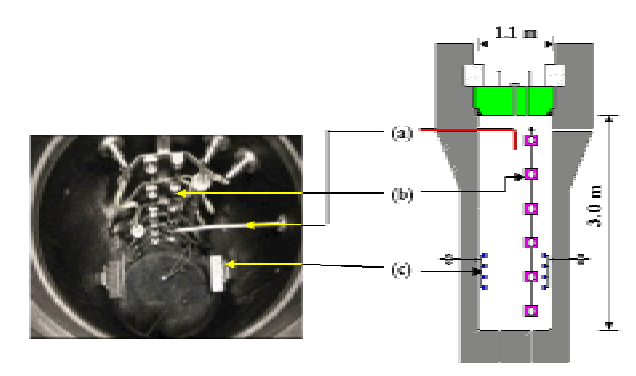


図1 高圧タンクの概要

- (a) CO<sub>2</sub>投入管,(b) モニターカメラ,
- (c) 回流発生装置のノズル

## 2.2 実験方法

高圧タンクに清水を充填し、温度・圧力を調整した後に、液体 $CO_2$ を投入し、 $CO_2$ 液滴の挙動及び $CO_2$  ハイドレート膜の生成状況を観察した。 さらに、タンクの底に $CO_2$ を貯留し、数日間にわたって周囲のpHの変化を計測した。

#### 3. 結果及び考察

# 3.1 液滴の挙動及びハイドレート膜の生成

まず、CO<sub>2</sub> 液滴の挙動について報告する。温度 8.0 、圧力 29.0MPa において、高圧タンク中に投入された液体 CO<sub>2</sub> が液滴として沈降する様子を図 2 に示す。液体 CO<sub>2</sub> の圧縮率は水よりも大きいため、深海環境に近い特定の温度・圧力条件ではその密度は周囲の海水と同一となり、それよりも高温・低圧側では水よりも低く、低温・高圧側では高くなる。この実験の条件では、液体 CO<sub>2</sub> の密度は周囲の水(清水)よりもわずかに高いものの、その差はわずかであり、このため液滴は球形に近い形状を保持したまま非常にゆっくりと沈降した。



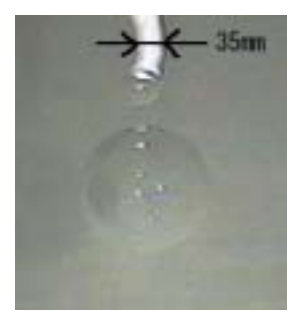


図 2 CO<sub>2</sub>液滴の沈降の様子

 $CO_2$ の小液滴(直径数 mm~数十 mm)の終端速度は、液滴を剛体球と仮定した場合の終端速度により近似的に解析されている。 $^{(5),(6)}$ 本実験で生じた液滴はこれらよりも大きい(直径 100mm以上)が、同様に解析を行った。剛体球の終端速度( $\nu_{rs}$ )は式(1)で与えられる。

$$v_{rs} = \sqrt{\frac{4d(\rho_{CO2} - \rho_{w})g}{3C_{D}\rho_{w}}}$$
 (1)

ここで、d は液滴径、 $\rho_{\text{CO2}}$  は液体  $\text{CO}_2$  の密度、 $\rho_{\text{w}}$  は水の密度、g は重力加速度である。 $C_D$  は抵抗係数で、

式(2)または(3)で与えられる。<sup>(7)</sup>

$$C_D = \frac{24(1 + 0.125R_e^{0.72})}{R} \qquad R_e < 1000$$
 (2)

$$C_D = \left(0.55 + \frac{48}{\sqrt{R_e}}\right)^2 \qquad R_e > 1000 \tag{3}$$

レイノルズ数  $(R_e)$  は式 (4) で与えられる。

$$R_e = \frac{v_{rs} d\rho_w}{\mu_w} \tag{4}$$

ここで、 $\mu_{w}$ は水の粘度である。

図 3 に液滴の終端速度の実測値及び計算値を示す。液体  $CO_2$  の投入に伴ってタンク内の圧力がわずかに上昇するため、液体  $CO_2$  は圧縮され、密度が少しずつ増大する。そこで、 $\rho_{CO2}$  を式(5)により無次元化し、パラメータ( $r_\rho$ )として  $\nu_{rs}$  を計算した。 $\rho_{CO2}$  以外の物性値は一定とした。

$$r_{\rho} = \frac{\rho_{CO2} - \rho_{w}}{\rho_{w}} \tag{5}$$

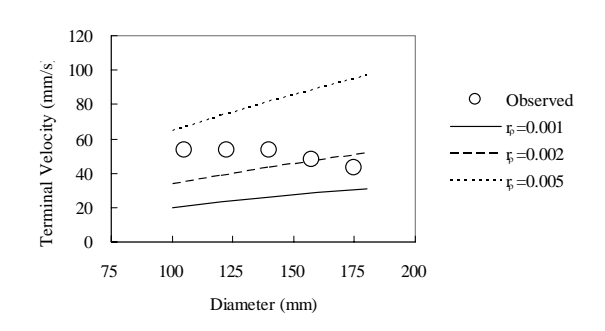


図3 CO<sub>2</sub>液滴の終端速度

終端速度の実測値と計算値は概ね一致している。 実験では、液滴の直径は、初めに投入した液滴が最 も大きく、その後は、密度の増大により液滴が投入 管から分離するタイミングが早まるため、徐々に小 さくなった。このため、液滴の直径が小さくなるに つれて r<sub>o</sub>が増大し、終端速度も上昇した。

さらに、温度を変えて  $CO_2$ を投入し、 $CO_2$ 八イドレート膜の生成状況を検討した。実験は、温度 6.0  $\sim 10.0$  、圧力 30.0MPa の条件下で行った。30.0MPa における  $CO_2$ 八イドレートの熱力学的な生成温度は 12.5 程度と推定され<sup>(8)</sup>、これ以下の温度では  $CO_2$  ハイドレートは生成しうる。しかし、その生成速度 は温度によって異なり、熱力学的生成温度では非常

に遅く、それよりも過冷却されるにつれて増大することが知られている。 $^{(3),(9),(10)}$ 本実験では、8.0 及び10.0 では液滴の沈降中に  $CO_2$  八イドレート膜が生成したが、6.0 ではそれよりも生成が速く、投入管からの放出中に  $CO_2$  八イドレート膜が生成した。また、6.0 では、投入管から  $CO_2$  八イドレートがつらら状に成長する様子も観察された。この様子を図4に示す。





図4 つらら状に成長した COゥ ハイドレート

## 3.2 貯留による pH の変化

次に、約 2kg の  $CO_2$  液滴を 2 日間にわたってタンク底に貯留し、pH の変化を検討した。水に溶解した  $CO_2$  の解離及び pH は以下の式で表される。式の角括 弧は分子またはイオンのモル濃度を示す。

$$CO_2$$
の溶解:  $H_2O + CO_2 \rightarrow H_2CO_3$  (6)

第1段解離: 
$$H_2CO_3 \to H^+ + HCO_3^-$$
 (7)

第 1 段解離定数: 
$$K_1 = \frac{\left[H^+ \right] HCO_3^-}{\left[H_2 CO_3\right]}$$
 (8)

第2段解離: 
$$HCO_3^- \to H^+ + CO_3^{2-}$$
 (9)

第 2 段解離定数 : 
$$K_2 = \frac{\left[H^+\right] CO_3^{2-}\right]}{\left[HCO_3^2\right]}$$
 (10)

$$pH: pH = -\log[H^+]$$
 (11)

ここで、第1段解離定数 ( $K_1$ ) 及び第2段解離定数 ( $K_2$ ) は温度により変化し、7.0 においてはそれぞれ  $3.2 \times 10^{-7}$  及び  $3.0 \times 10^{-11}$  である。 (11)

実験では、pH センサをタンクの底から約 270mm

上方の壁面付近に設置した。実験中の温度は  $5.1 \sim 7.0$  、圧力は 31.4 MPa であった。投入した  $CO_2$  液滴のほとんどは、タンク底の中央部を中心とした半径約 600 mm の範囲に着底し、その表面にはハイドレート膜が生成した。高圧タンクの底に貯留し  $CO_2$  液滴の様子を図 5 に示す。



図 5 高圧タンクの底に貯留した CO<sub>2</sub>液滴

貯留中の温度及び pH の変化を図 6 に示す。pH は 初め急速に低下した後にしばらく一定となり、その 後再びゆっくりと低下した。2 日間で pH は 8.4 から 7.0 へと変化した。式(6)~(11)から、2kg の  $CO_2$  がタンク容積相当の純水に均一に溶解すると、7.0 において pH は 4.2 となると予想される。実際には、純水ではなく水道水を使用しており、実験時間内には  $CO_2$  は完全には溶解せず、溶解が不均一であったため、計測点における pH はこれよりも高い値を示したと考えられる。なお、高圧下で人工海水に  $CO_2$  を溶解させた実験によれば、本実験に相当する  $CO_2$  濃度における pH は約 6.0 である。(3)

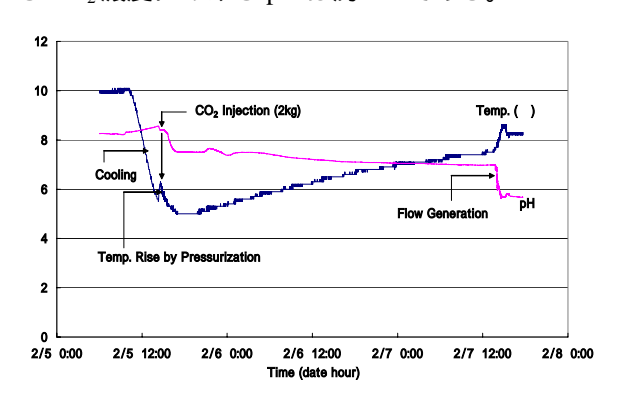


図 6 貯留中の温度及び pH の変化

そこで、貯留実験終了後、回流発生装置により内部の水を撹拌したところ、pH は 5.6 へと低下した。このとき、タンク底に残留している CO2 液滴が急速

に溶解することは見られなかったが、タンク底付近にシュリーレン現象が観察され、密度成層の存在が示唆された。以上の結果から、貯留  $CO_2$  の溶解速度は  $CO_2$  液滴付近の流れの状態により大きく影響されると考えられる。

参考として、図7に実海域実験における pH 変化の例を示す。 $^{(10)}$ この実験では、4 リットルビーカーに半量程度の  $CO_2$ を注入し、泡状の  $CO_2$  ハイドレートを生成させている。ビーカー周囲の海水の pH は約 7.5 であるが、ビーカー内の  $CO_2$  ハイドレートの表面付近には pH の低い領域が生じている。図中における pH の急激な低下は、 $CO_2$  ハイドレート近傍への pH センサの挿入によるものである。

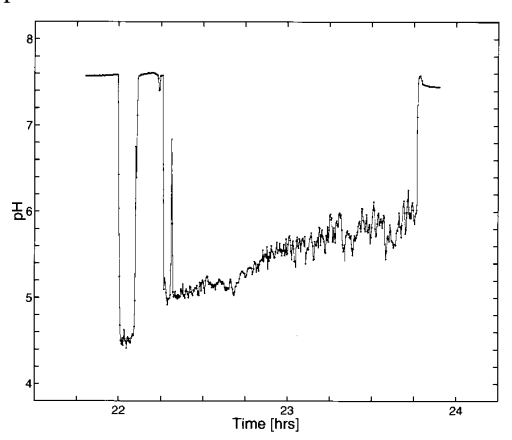


図7 実海域実験における pH 変化の例<sup>⑴</sup>

# 4.まとめと今後の課題

CO<sub>2</sub> 深海貯留の環境影響評価を目的とする国際共同研究の一部として、実海域の環境を模擬できる大型高圧実験装置を用いた陸上模擬実験を実施する。その第一歩として液体 CO<sub>2</sub> の投入実験を行い、CO<sub>2</sub> 液滴の挙動、CO<sub>2</sub> ハイドレート膜の生成、及び周辺水の pH 変化を検討した。

CO<sub>2</sub> 液滴の挙動については、その終端速度は同一の密度を有する剛体球の終端速度により近似的に解析された。また、液滴表面には CO<sub>2</sub> ハイドレート膜が生成し、過冷却度の増大に伴ってより速くハイドレート膜が生成することが確認された。さらに、投入した液体 CO<sub>2</sub>をタンク底に 2 日間にわたって静置し、pH の低下を確認した。回流による水の撹拌により、pH がさらに低下することを確認した。貯留 CO<sub>2</sub> の溶解速度は、CO<sub>2</sub> 液滴付近の流れの状態により大きく影響されると考えられる。

今後は、海水を用いて本格的な陸上模擬実験を行い、温度、流速などの物理的条件が CO<sub>2</sub> の溶解及び密度成層の生成に与える影響等を検討する予定である。

#### 斜辞

本研究は、新エネルギー・産業技術総合開発機構(NEDO)国際共同研究助成を受けて実施された。また、本研究を行うにあたって、当所大阪支所の綾威雄博士ならびに山根健次博士にご指導、ご助言をいただいた。ここに感謝の意を表したい。

## 参考文献

- (1) Marchetti, C., Climate Change, 1 (1977), pp.59-68.
- (2) Aya, I., et al, *Energy*, in press.
- (3) 綾 威雄,山根健次,船舶技術研究所報告,第 33 巻第 2 号 (1996), pp.91-135.
- (4) Sato, T. and Sato, K., J. Mar. Sci. Technol., 6 (2002), pp.169-180.
- (5) 綾 威雄,山根健次,山田信夫,日本機械学会 九州支部講演論文集 No.918-1(1991), pp.78-81.
- (6) Ozaki, M., Proc. 2nd International Symposium on Ocean Sequestration of Carbon Dioxide (1999), pp.1-7.
- (7) Clift, R., Grace, J. R. and Weber, M. E., *Bubbles*, *Drops and Particles*, (1978), Academic Press.
- (8) Takenouchi, S. and Kennedy, G. C., *J. Geology*, **73** (1965), pp.383.
- (9) Sloan, E. D., Jr., Clathrate Hydrates of Natural Gases (2nd ed.), (1998), Marcel Dekker.
- (10) Brewer, P. G., et al, *Marine Chemistry*, **72** (2000), pp.83-93.
- (11) 北野 康 ," 炭酸塩堆積物の地球化学 ",(1990), 東海大学出版会.